

1. まえがき

梁一柱からなる平面骨組構造物の有限変形法は、座屈解析及び吊橋を主目的とした構造物の大変形解析のために発達した。現在迄の種々の試みの中で、Saafan⁽¹⁾によるものは、接線剛線ストロックスの精度を欠いていたとはいえ、厳密な釣合方程式から出発し、Newton-Raphson 法と不平衡力の概念を結びつけ、軸力による不安定効果 (instability effect)、又撓みによる部材の短縮効果 (influence of bowing or flexural shortening) を考察しているという意味で、記念碑的のものであろう。ここに報告する方法は、Saafan による式を修正した Tezcan⁽²⁾ による考え方に基づいているが、欠の真に意を置いて解析を行っている。

- (1) 釣合条件式を有限歪に対する変分原理から導いた。
- (2) 節力と軸力による不安定効果、撓みによる短縮効果と考慮しつつ、節位置座標で一意的に表示できるように試み、その結果軸力が圧縮と引張の場合と包含するようは統一的な関係式を誘導した。
- (3) 誘導した関係式の適用について考慮した。

2. 釣合条件式

ここに述べる解法に於てなされる基本的な仮定を次のとおりとするが、この他にも梁一柱弾性有限変形解析で通常なされる仮定はやはりたっているものとする。

- (1) 部材曲線を $y = f(x)$ とする時、曲率 κ は $f''(x)$ で表わされる。
- (2) 部材の軸及び軸直角方向の変位 u, v とする時、軸力による有限歪 ϵ_N は次式で表わされる。

$$\epsilon_N = \frac{\partial u}{\partial x} + \frac{1}{2} \left(\frac{\partial v}{\partial x} \right)^2 \quad (1)$$

座標系 $O-X-Y$, 部材節力 $F_0 = (F_{Xa}, F_{Ya}, F_{Xb}, F_{Yb}, F_{\theta a}, F_{\theta b})^T$, 節位置座標 $D = (X_a, Y_a, \theta_a, X_b, Y_b, \theta_b)^T$ (図-1 に示すとおりとする)。部材座標系 $O'-x-y$ の x 軸を節点 a, b を結ぶ弦にとり、 y 軸をそれに直交する軸とする。部材座標で表わされた節力 $F_m = (R_a, S_a, M_a, R_b, S_b, M_b)^T$ 及び変位 θ'_a, θ'_b は図-2 に示すとおりとする。

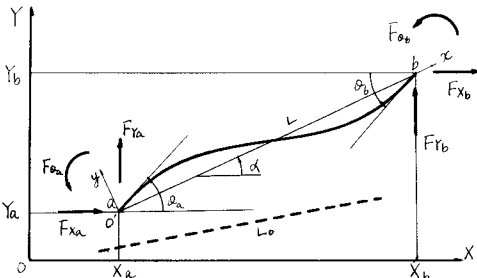


図-1 構造座標系

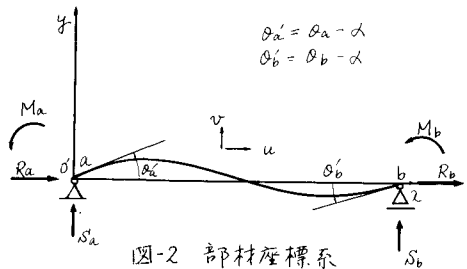


図-2 部材座標系

軸力を引張を正にして T で表わす。応力と変位の関係は次式で与えられる。

$$T = EA\varepsilon_N = EA \left\{ \frac{\partial u}{\partial x} + \frac{1}{2} \left(\frac{\partial v}{\partial x} \right)^2 \right\} \quad (2)$$

$$M = EI\varepsilon = EI \frac{\partial^2 v}{\partial x^2} \quad (3)$$

歪エネルギー U は次式で表わされる。

$$U = \int \frac{T^2}{2EA} dx + \int \frac{M^2}{2EI} dx \quad (4)$$

外力ポテンシャル δW , 全ポテンシャルエネルギー $\delta \Pi$ とするとエネルギー原理

$$\delta \Pi = \delta U - \delta W = 0 \quad (5)$$

(2), (3) を代入し、 δu と δv の任意性から部材内の釣合条件式として次式を得る。

$$\frac{\partial T}{\partial x} = 0, \quad \frac{\partial}{\partial x} \left(\frac{\partial M}{\partial x} - T \frac{\partial v}{\partial x} \right) = 0 \quad (6)$$

(6) は曲げモーメントと断力の関係

$$\frac{\partial M}{\partial x} = S \quad (7)$$

を便な次式と等価にする。

$$EI \frac{\partial^2 v}{\partial x^2} + Pv = -M_a + S_a x \quad (T = -P < 0) \quad (8)$$

$$EI \frac{\partial^2 v}{\partial x^2} - Tv = -M_a + S_a x \quad (T > 0) \quad (9)$$

3. 節集力と位置座標

上の変分原理で示された釣合式に u に対しては x の 1 次式, v に対しては x の 3 次式で近似すれば、変位を代入すれば、有限要素法の手法に従って節集力 P_a, P_b である P に於ては、(8), (9) と忠実に解き (2), (3), (7) から節集力を導くことは可能。(8) を解くと v は圧縮の場合三角関数で、引張の場合双曲線関数で表わされる。 v, M_a, M_b, S_a, S_b は次の様に決まる。

$$v_p = -\frac{M_a \cos \beta_p + M_b}{P \sin \beta_p} \sin \beta_p x + \frac{M_a}{P} \cos \beta_p x + \frac{S_a x}{P} - \frac{M_a}{P} \quad (10)$$

$$M_{ap} = \frac{4EI}{L} S_{1p} (\theta_a - \alpha) + \frac{2EI}{L} S_{2p} (\theta_b - \alpha) \quad (11)$$

$$M_{bp} = \frac{2EI}{L} S_{2p} (\theta_a - \alpha) + \frac{4EI}{L} S_{1p} (\theta_b - \alpha) \quad (12)$$

$$\beta_{1p} = \frac{P_p (\sin \beta_p - P_p \cos \beta_p)}{4(2 - 2 \cos \beta_p - P_p \sin \beta_p)} \quad S_{2p} = \frac{P_p (\beta_p - \sin \beta_p)}{2(2 - 2 \cos \beta_p - P_p \sin \beta_p)} \quad (13)$$

$$v_p = \sqrt{P/EI} \quad P_p = v_p L \quad (14)$$

$$v_T = \frac{M_a \cosh \beta_T + M_b}{T \sinh \beta_T} \sinh \beta_T x - \frac{M_a}{T} \cosh \beta_T x - \frac{S_a x}{T} - \frac{M_a}{T} \quad (15)$$

$$M_{aT} = \frac{4EI}{L} S_{1T} (\theta_a - \alpha) + \frac{2EI}{L} S_{2T} (\theta_b - \alpha) \quad (16)$$

$$M_{bT} = \frac{2EI}{L} S_{2T} (\theta_a - \alpha) + \frac{4EI}{L} S_{1T} (\theta_b - \alpha) \quad (17)$$

$$S_{1T} = \frac{\beta_T (\beta_T \cosh \beta_T - \sinh \beta_T)}{4(2 - 2 \cosh \beta_T + \beta_T \sinh \beta_T)} \quad S_{2T} = \frac{\beta_T (\sinh \beta_T - \beta_T)}{2(2 - 2 \cosh \beta_T + \beta_T \sinh \beta_T)} \quad (18)$$

$$v_T = \sqrt{T/EI} \quad \beta_T = v_T L \quad (19)$$

$$S_a = \frac{M_a + M_b}{L} \quad S_b = -S_a \quad (20)$$

軸力と節集位置座標の関係は次の様に導く。(2) の両辺を積分して次式を得る。

$$\int \varepsilon dx = u_b - u_a + \delta L \quad (21)$$

$$\therefore T \frac{L_0}{AE} = L - L_0 + \delta L = L(1 + \delta) - L_0 \quad (22)$$

$$R_a = -T = \frac{AE}{L_0} \{ L(1 + \delta) - L_0 \}, \quad R_b = -R_a \quad (23)$$

$$\delta = \frac{1}{L} \int \frac{1}{2} \left(\frac{\partial V}{\partial x} \right)^2 dx \quad (24)$$

δ は a 及び b の弧と弦の差を表わす。(24) に (10), (15) を代入すると δ の式を得る。

$$\delta_P = C_{1P} (\theta_a + \theta_b - 2\alpha)^2 + C_{2P} (\theta_a - \theta_b)^2 \quad (25)$$

$$C_{1P} = \frac{P_P (\sin^2 \beta_P \cos^2 \beta_P + P_P + P_T \cos^2 \beta_P \sin^2 \beta_P) - 4 \sin^2 \beta_P}{2 P_P^2 \sin^2 \beta_P} \quad (2S_{1P} + 2S_{2P})^2 \quad (26)$$

$$C_{2P} = \frac{P_P (\sin^2 \beta_P \cos^2 \beta_P + P_P - P_T \cos^2 \beta_P \sin^2 \beta_P)}{2 P_P^2 \sin^2 \beta_P} \quad (2S_{1P} - 2S_{2P})^2 \quad (27)$$

$$\delta_T = C_{1T} (\theta_a + \theta_b - 2\alpha)^2 + C_{2T} (\theta_a - \theta_b)^2 \quad (28)$$

$$C_{1T} = \frac{P_T (1 + \cosh^2 \beta_T) (P_T + \sinh^2 \beta_T) - 4 \sinh^2 \beta_T}{2 P_T^2 \sinh^2 \beta_T} \quad (2S_{1T} + S_{2T})^2 \quad (29)$$

$$C_{2T} = \frac{P_T (1 - \cosh^2 \beta_T) (P_T - \sinh^2 \beta_T)}{2 P_T^2 \sinh^2 \beta_T} \quad (2S_{1T} - S_{2T})^2 \quad (30)$$

これらの式を見ると (23) 中の R_a を求めるためには右辺にも又未知数 R_a が入っていて一般的に定められない事がある。今 R_a が Euler 座屈荷重より十分小さいとすると、三角関数、双曲線関数と Taylor 展開する事により圧縮と引張の場合を包含する δ の式を得る。即ち

$$\delta + \frac{L^2}{EI} \left\{ \frac{(\theta_a + \theta_b - 2\alpha)^2}{240} + \frac{(\theta_a - \theta_b)^2}{720} \right\} R_a = \frac{(\theta_a + \theta_b - 2\alpha)^2}{40} + \frac{(\theta_a - \theta_b)^2}{24} \quad (31)$$

(23) と (31) より δ の新しい表示式を得る。即ち

$$\delta = \frac{\left(\frac{1}{40} + \frac{1}{240} \frac{T_0 L^2}{EI} \right) (\theta_a + \theta_b - 2\alpha)^2 + \left(\frac{1}{24} + \frac{1}{720} \frac{T_0 L^2}{EI} \right) (\theta_a - \theta_b)^2}{1 - \frac{AL^3}{L_0 I} \left\{ \frac{(\theta_a + \theta_b - 2\alpha)^2}{240} + \frac{(\theta_a - \theta_b)^2}{720} \right\}} \quad (32)$$

$$T_0 = AE (L - L_0) / L.$$

この時 S_{1P} と S_{1T} 、 S_{2P} と S_{2T} は同一の表示式となり次式を得る。

$$S_1 = S_{1P} = S_{1T} = 1 + \frac{L^2}{30EI} R_a \quad S_2 = S_{2P} = S_{2T} = 1 - \frac{L^2}{60EI} R_a \quad (33)$$

以上より δ 、 θ_m の式として与えらる。圧縮式、引張式、包含式を得ることはなる。

4. 接線剛性マトリックス

θ_m から θ_m への変換は次式によって行われる。

$$F_{Xa} = R_a \cos \alpha - S_a \sin \alpha \quad (34)$$

$$F_{Ya} = R_a \sin \alpha + S_a \cos \alpha \quad (35)$$

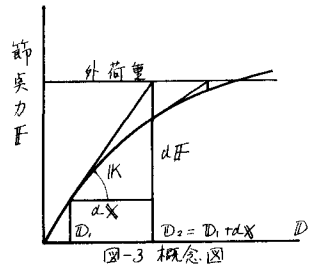
$$F_{Xb} = -F_{Xa} \quad F_{Yb} = -F_{Ya} \quad (36)$$

$$F_{0a} = M_a \quad F_{0b} = M_b \quad (37)$$

θ_m と節点外荷重の釣合から非線形釣合方程式が得られるが、これを解く場合 Newton-Raphson 法は一般的⁽⁵⁾である。Newton-Raphson 法は、外荷重と釣合位置と接線近似で与えられるので接線剛性マトリックスが必要である。

接線剛性マトリックスは次式となる。

$$\begin{bmatrix} dF_{Xa} \\ dF_{Ya} \\ dF_{0a} \\ dF_{Xb} \\ dF_{Yb} \\ dF_{0b} \end{bmatrix} = \begin{bmatrix} k_{11} & k_{12} & k_{13} & -k_{11} & -k_{12} & k_{13} \\ k_{21} & k_{22} & k_{23} & -k_{21} & -k_{22} & k_{23} \\ k_{31} & k_{32} & k_{33} & -k_{31} & -k_{32} & k_{33} \\ -k_{11} & -k_{12} & -k_{13} & k_{11} & k_{12} & -k_{13} \\ -k_{21} & -k_{22} & -k_{23} & k_{21} & k_{22} & -k_{23} \\ k_{61} & k_{62} & k_{63} & -k_{61} & -k_{62} & -k_{63} \end{bmatrix} \begin{bmatrix} dX_a \\ dY_a \\ d\theta_a \\ dX_b \\ dY_b \\ d\theta_b \end{bmatrix} \quad (38)$$



紙数の関係で \$k_{11}\$ のみを示せば、次のようになる。

$$k_{11} = \frac{AE}{L_0} \left\{ \frac{L(1+d)}{L_0} - \sin^2 \alpha \right\} - \frac{3E\alpha}{L} \sin \alpha \cos \alpha - \frac{2EE}{L^2} \left(2 \frac{\partial S_1}{\partial X_1} + \frac{\partial S_2}{\partial X_2} \right) (\partial a + \partial b - 2d) \sin \alpha + \frac{2EE}{L^2} (2S_1 + S_2) \sin^2 \alpha \quad (39)$$

圧縮式	引張式	包含式
$\delta = (25)$	$\delta = (28)$	$\delta = (32)$
$S_1, S_2 = (13)$	$S_1, S_2 = (18)$	$S_1, S_2 = (33)$

包含式は軸力の Euler 座屈荷重より小さいという仮定で作られているから、吊橋等の構造物の有限変形解析には十分の精度を有するが、弾性座屈解析には向かない。しかし位置座標により一意的に節番号が求まるので、任意形状から出発する時の初期値を作るのに便利である。これら3種の関係式を組み合わせる事によって、一般的構造物の有限変形解析から弾性座屈解析迄極めて汎用性の高いプログラムを作ることが出来る。なお軸力部材の場合は文献(5)においている。

5. 数値計算例

文献(4)に各種解法を数値計算で比較しているのと同じ問題を包含式で計算し(一例)を図-4、表-1に示す。図-5に弾性座屈解析を包含式と圧縮式による修正端功法⁽³⁾で計算した結果を示す。弾性座屈解析は増分のステップを細かくすると精度が上がる。

$$E = 2.1 \times 10^7 \text{ (t/m}^2\text{)} \quad A = 8.55 \times 10^{-2} \text{ (m}^2\text{)}$$

$$I = 3.64 \times 10^{-2} \text{ (m}^4\text{)} \quad \text{荷重 } 2 \sim 8 \text{ に } 45\% \text{ 度}$$

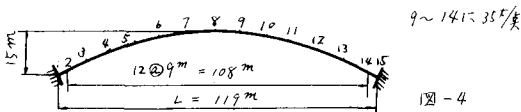


図-4

	解-1	解-2	解-3	解-4	解-7	包含式
全変位 [cm]	0.21480	0.21435	0.2113	0.21113	0.21608	0.21189
曲率 E-スロート [t/m]	329.80	329.74	328.36	328.26	329.20	328.65
軸力 [t]	540.48	540.48	540.46	540.46	540.42	540.44

表-1 節番号の値

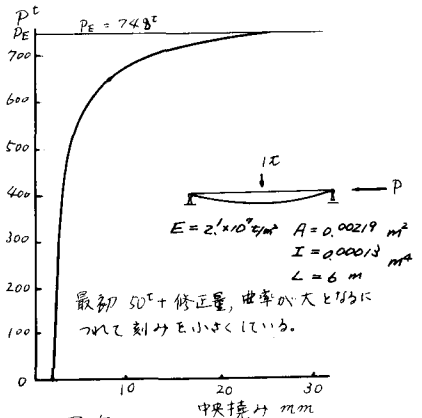


図-5

最後にこの解析は、本州四国連絡橋公団設計才1部 馬場賢三、保田雅彦、村田正信君等との討議を得、又日本電算(株)小原裕近氏によるプログラム作成によって完成した事に感謝いたします。
参考文献

- (1) S. A. Saafan, "Theoretical Analysis of Suspension Bridges", ASCE, Vol. 92, No. ST4, August, 1966,
- (2) Discussions by Semih S. Topcan & Prem Krishna "Numerical Solution of Nonlinear Structures", ASCE, Vol. 94, No. ST6, June, 1968,
- (3) 鷲津久一郎「弾性学の変分原理概論」日本鋼構造協会、培風館
- (4) 堀井健一郎他「滑組構造の大変形解析」土木学会論文報告集 才191号 1971年7月
- (5) 林有一郎, 上久保久弥「有限変形還元法によるケーブル解析」日本鋼構造協会才5回大会 研究集会マトリックス構造解析法研究発表論文集 昭和46年6月